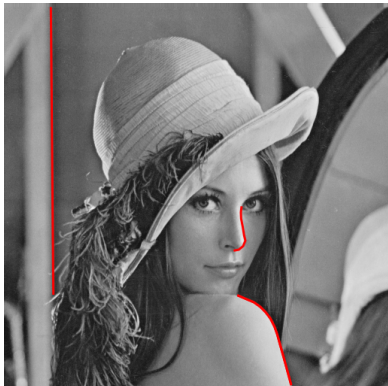


# **DÉTECTION DE CARACTÉRISTIQUES**

# Détection de caractéristiques

*(feature detection)*

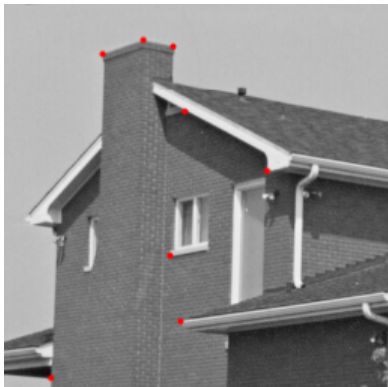


## Détection de contours

Arêtes des objets : brusque changement de la luminance.

# Détection de caractéristiques

*(feature detection)*



## Détection de coins

Brusque changement de la luminance dans les deux dimensions, intersection de deux contours.

# Détection de caractéristiques

*(feature detection)*

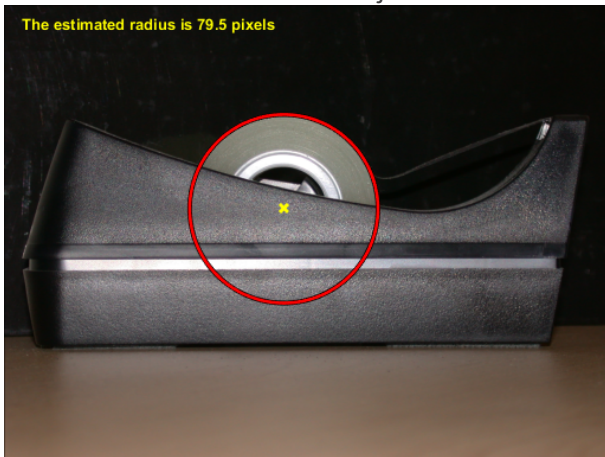


## Détection de lignes

Alignements de points (à effectuer après une détection de contours).

# Détection de caractéristiques

Mesurer des objets

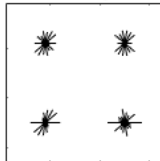
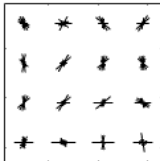
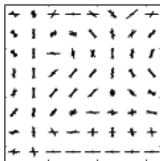


# Détection de caractéristiques

Extraction de caractéristiques  
(classification pour la reconnaissance de caractères, ...)

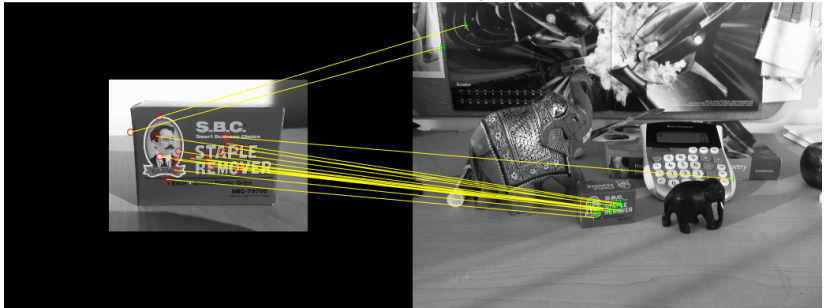


**CellSize = [2 2]**      **CellSize = [4 4]**      **CellSize = [8 8]**  
**Feature length = 1764**   **Feature length = 324**   **Feature length = 36**



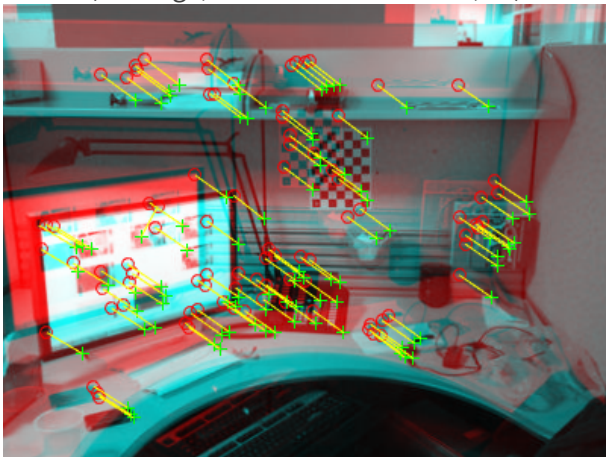
# Détection de caractéristiques

## Détection d'objets



# Détection de caractéristiques

Association d'images  
(recalage, stabilisation de vidéo, ...)





# Sommaire

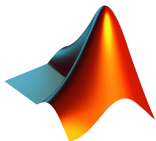
- Détection de contours (*edges*)
- Détection de coins (*corners*)
- Détection de droites (*lines*)

# Détection de contours

# Détection de contours

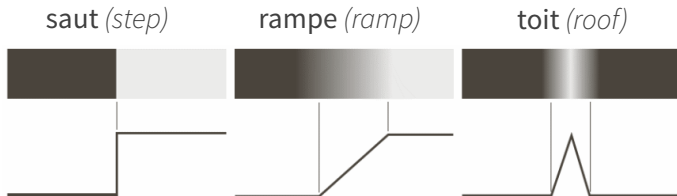
- Modèles de contours
- Méthodes utilisant la morphologie mathématique
- Dérivées première et deuxième d'un contour
- Gradient et laplacien
- Méthodes basiques (filtres de Roberts, de Prewitt, de Sobel)
- Méthodes avancées (détecteurs de Marr-Hildreth, de Canny)

## Exemples de contours

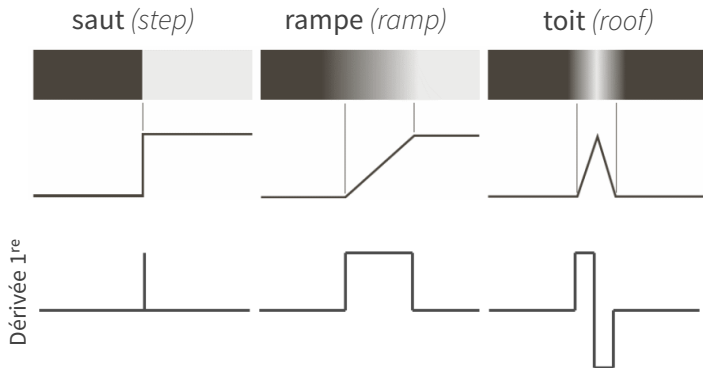


lena\_edges.m

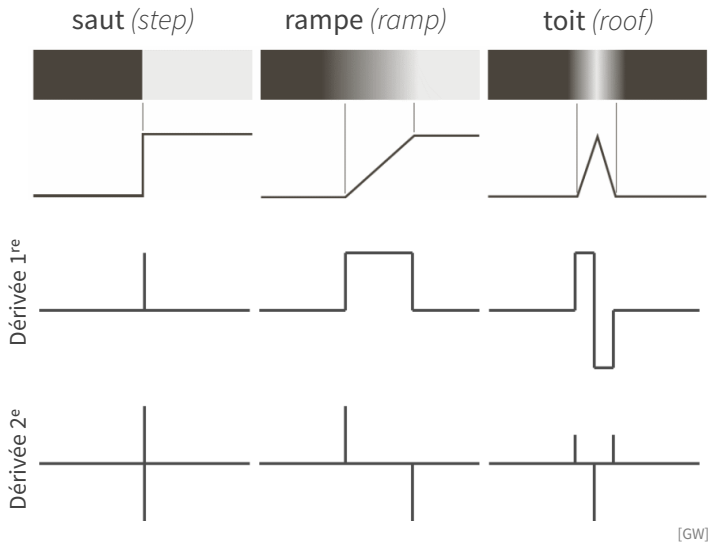
# Modèles de contours



# Modèles de contours



# Modèles de contours



# Modèles de contours

La présence d'un contour est détectée...

- en analysant l'amplitude de la dérivée 1<sup>re</sup>
- ou en déterminant le passage à zéro de la dérivée 2<sup>e</sup>

...selon le profil d'intensité perpendiculairement au contour.



# Gradient et laplacien

- Dérivée 1<sup>re</sup> (gradient)

$$\begin{pmatrix} \frac{\partial f(x,y)}{\partial x} \\ \frac{\partial f(x,y)}{\partial y} \end{pmatrix}$$

- Dérivée 2<sup>e</sup> (laplacien)

$$\begin{pmatrix} \frac{\partial^2 f(x,y)}{\partial x^2} \\ \frac{\partial^2 f(x,y)}{\partial y^2} \end{pmatrix}$$

# Gradient et laplacien

## ■ Dérivée 1<sup>re</sup> (gradient)

$$\begin{pmatrix} \frac{\partial f(x,y)}{\partial x} \\ \frac{\partial f(x,y)}{\partial y} \end{pmatrix} = \begin{pmatrix} f(x+1,y) - f(x,y) \\ f(x,y+1) - f(x,y) \end{pmatrix}$$

## ■ Dérivée 2<sup>e</sup> (laplacien)

$$\begin{pmatrix} \frac{\partial^2 f(x,y)}{\partial x^2} \\ \frac{\partial^2 f(x,y)}{\partial y^2} \end{pmatrix}$$

# Gradient et laplacien

## ■ Dérivée 1<sup>re</sup> (gradient)

$$\begin{pmatrix} \frac{\partial f(x,y)}{\partial x} \\ \frac{\partial f(x,y)}{\partial y} \end{pmatrix} = \begin{pmatrix} f(x+1,y) - f(x,y) \\ f(x,y+1) - f(x,y) \end{pmatrix} = \begin{pmatrix} \partial_x f(x,y) \\ \partial_y f(x,y) \end{pmatrix}$$

## ■ Dérivée 2<sup>e</sup> (laplacien)

$$\begin{pmatrix} \frac{\partial^2 f(x,y)}{\partial x^2} \\ \frac{\partial^2 f(x,y)}{\partial y^2} \end{pmatrix}$$

# Gradient et laplacien

## ■ Dérivée 1<sup>re</sup> (gradient)

$$\begin{pmatrix} \frac{\partial f(x,y)}{\partial x} \\ \frac{\partial f(x,y)}{\partial y} \end{pmatrix} = \begin{pmatrix} f(x+1,y) - f(x,y) \\ f(x,y+1) - f(x,y) \end{pmatrix} = \begin{pmatrix} \partial_x f(x,y) \\ \partial_y f(x,y) \end{pmatrix}$$

## ■ Dérivée 2<sup>e</sup> (laplacien)

$$\begin{pmatrix} \frac{\partial^2 f(x,y)}{\partial x^2} \\ \frac{\partial^2 f(x,y)}{\partial y^2} \end{pmatrix} = \begin{pmatrix} f(x+1,y) - 2f(x,y) + f(x-1,y) \\ f(x,y+1) - 2f(x,y) + f(x,y-1) \end{pmatrix}$$

# Opérateurs du gradient

$$\partial_x f(x, y) = f(x + 1, y) - f(x, y)$$

## Opérateurs du gradient

$$\partial_x f(x, y) = f(x+1, y) - f(x, y) = \sum_m \sum_n h_x(m, n) f(x-m, y-n)$$

## Opérateurs du gradient

$$\partial_x f(x,y) = f(x+1,y) - f(x,y) = \sum_m \sum_n h_x(m,n) f(x-m,y-n)$$

$$\text{où} \quad \begin{cases} h_x(0,0) = -1 \\ h_x(-1,0) = +1 \\ h_x(m,n) = 0 \quad \text{ailleurs} \end{cases} \quad \Rightarrow \quad h_x = \begin{pmatrix} 0 & +1 & 0 \\ 0 & -1 & 0 \\ 0 & 0 & 0 \end{pmatrix}$$

## Opérateurs du gradient

$$\partial_x f(x,y) = f(x+1,y) - f(x,y) = \sum_m \sum_n h_x(m,n) f(x-m,y-n)$$

$$\text{où} \quad \begin{cases} h_x(0,0) = -1 \\ h_x(-1,0) = +1 \\ h_x(m,n) = 0 \quad \text{ailleurs} \end{cases} \quad \Rightarrow \quad h_x = \begin{pmatrix} 0 & +1 & 0 \\ 0 & -1 & 0 \\ 0 & 0 & 0 \end{pmatrix}$$

$$\partial_y f(x,y) = f(x,y+1) - f(x,y)$$



## Opérateurs du gradient

$$\partial_x f(x,y) = f(x+1,y) - f(x,y) = \sum_m \sum_n h_x(m,n) f(x-m,y-n)$$

$$\text{où} \quad \begin{cases} h_x(0,0) = -1 \\ h_x(-1,0) = +1 \\ h_x(m,n) = 0 \quad \text{ailleurs} \end{cases} \Rightarrow h_x = \begin{pmatrix} 0 & +1 & 0 \\ 0 & -1 & 0 \\ 0 & 0 & 0 \end{pmatrix}$$

$$\partial_y f(x,y) = f(x,y+1) - f(x,y) = \sum_m \sum_n h_y(m,n) f(x-m,y-n)$$

$$\text{où} \quad \begin{cases} h_y(0,0) = -1 \\ h_y(0,-1) = +1 \\ h_y(i,j) = 0 \quad \text{ailleurs} \end{cases} \Rightarrow h_y = \begin{pmatrix} 0 & 0 & 0 \\ +1 & -1 & 0 \\ 0 & 0 & 0 \end{pmatrix}$$

# Opérateurs du gradient

Filtres de Roberts [Roberts 1965] :

$$\begin{pmatrix} 0 & +1 & 0 \\ 0 & -1 & 0 \\ 0 & 0 & 0 \end{pmatrix} \quad \begin{pmatrix} 0 & 0 & 0 \\ +1 & -1 & 0 \\ 0 & 0 & 0 \end{pmatrix}$$

$$\begin{pmatrix} +1 & 0 & 0 \\ 0 & -1 & 0 \\ 0 & 0 & 0 \end{pmatrix} \quad \begin{pmatrix} 0 & 0 & +1 \\ 0 & -1 & 0 \\ 0 & 0 & 0 \end{pmatrix}$$

# Opérateurs du gradient

Filtres de Prewitt [Prewitt 1970] (permet de symétriser les filtres de Roberts) :

$$H_x = \begin{pmatrix} +1 & +1 & +1 \\ 0 & 0 & 0 \\ -1 & -1 & -1 \end{pmatrix} \quad H_y = \begin{pmatrix} +1 & 0 & -1 \\ +1 & 0 & -1 \\ +1 & 0 & -1 \end{pmatrix}$$

Filtres de Sobel [Sobel 1968] (version lissée du filtre de Prewitt) :

$$H_x = \begin{pmatrix} +1 & +2 & +1 \\ 0 & 0 & 0 \\ -1 & -2 & -1 \end{pmatrix} \quad H_y = \begin{pmatrix} +1 & 0 & -1 \\ +2 & 0 & -2 \\ +1 & 0 & -1 \end{pmatrix}$$

- Il existe des variantes diagonales.
- La somme des coefficients est égal à 0.

# Opérateurs du gradient

rappel : gradient =  $\begin{pmatrix} \partial_x f(x,y) \\ \partial_y f(x,y) \end{pmatrix}$

- Amplitude (*magnitude*)

$$M(x,y) = \sqrt{\partial_x f(x,y)^2 + \partial_y f(x,y)^2}$$

- Angle (direction)

$$A(x,y) = \text{atan} \left( \frac{\partial_y f(x,y)}{\partial_x f(x,y)} \right)$$

$M$  et  $A$  sont des images de la même taille que  $f$ .

## Filtre de Sobel

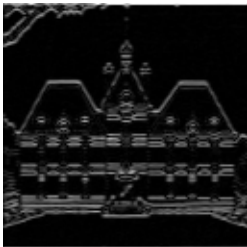
$f$



$M$



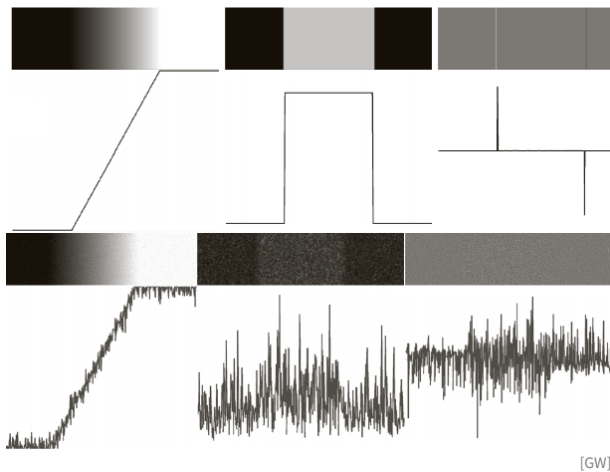
$|\partial_x f|$



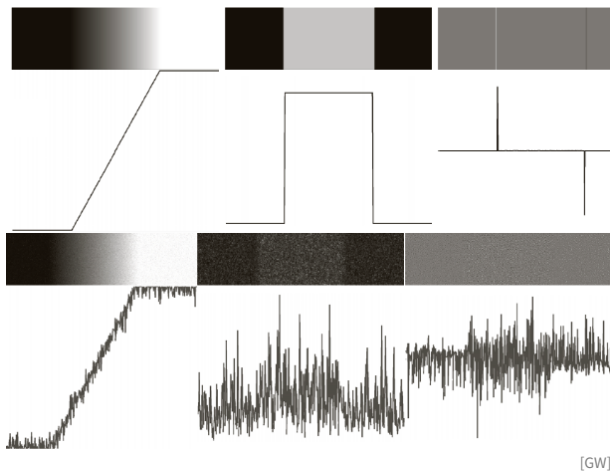
$|\partial_y f|$



# Impact du bruit sur la détection



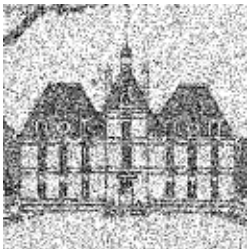
# Impact du bruit sur la détection



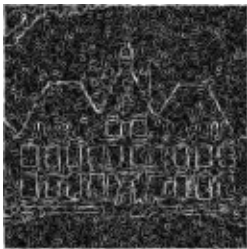
Dérivées très sensibles au bruit !  $\Rightarrow$  débruitage

## Filtre de Sobel

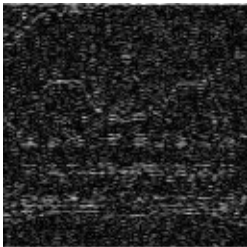
$f$



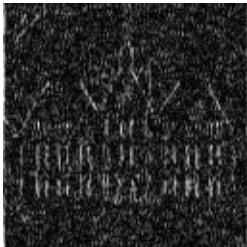
$M$



$|\partial_x f|$



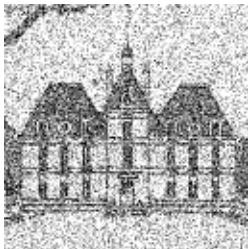
$|\partial_y f|$





## Filtre moyennneur $5 \times 5$ puis filtre de Sobel

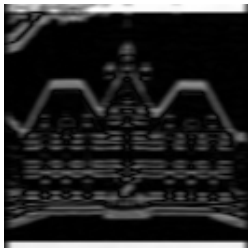
$f$



$M$



$|\partial_x f|$



$|\partial_y f|$



## Seuillage du résultat

On peut seuiller l'image  $|\partial_x f| + |\partial_y f|$  pour ne conserver que les grandes valeurs du gradient.



$f$



Sobel



Sobel + seuil

# Techniques avancées de détection de contours

L'objectif est d'améliorer la détection en tenant compte du bruit et de la nature des contours.

- Détecteur de Marr–Hildreth [Marr & Hildreth 1980]
- Détecteur de Canny [Canny 1986]

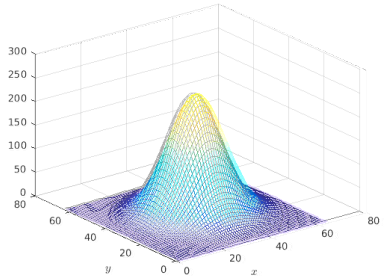
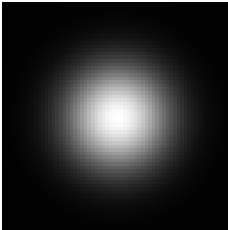
# Détecteur de Marr–Hildreth

Le détecteur de Marr–Hildreth consiste à :

- 1 calculer le laplacien (dérivée 2<sup>e</sup>) de l'image  $f$  sur laquelle un filtre gaussien  $g$  a été appliqué pour réduire le bruit,
- 2 déterminez les passages par zéro du résultat

# Détecteur de Marr–Hildreth

Filtre gaussien :



$$g(x,y) = \exp\left(-\frac{x^2 + y^2}{2\sigma^2}\right)$$

## Détecteur de Marr–Hildreth

Application d'un filtre gaussien  $g$  puis calcul du laplacien sur  $f$ :

$$J = \partial^2(f * g)$$

# Détecteur de Marr–Hildreth

Application d'un filtre gaussien  $g$  puis calcul du laplacien sur  $f$ :

$$J = \partial^2(f * g) = h * (f * g)$$

# Détecteur de Marr–Hildreth

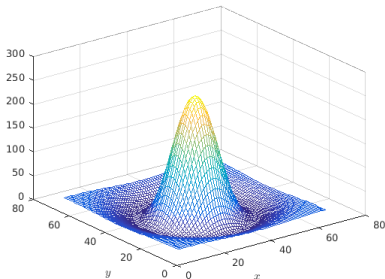
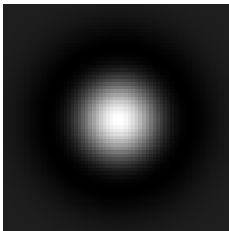
Application d'un filtre gaussien  $g$  puis calcul du laplacien sur  $f$ :

$$J = \partial^2(f * g) = h * (f * g) = (h * g) * f$$



# Détecteur de Marr–Hildreth

Laplacien du filtre gaussien  
(appelé LoG (*Laplacian of Gaussian*) ou chapeau mexicain) :



$$\partial^2 g(x,y) = - \left[ \frac{x^2 + y^2 - 2\sigma^2}{\sigma^4} \right] \exp \left( -\frac{x^2 + y^2}{2\sigma^2} \right)$$

## Détecteur de Marr–Hildreth



$f$



LoG



Marr–Hildreth

# Détecteur de Canny

Objectifs :

- tous les contours doivent être trouvés
- il doit y avoir un minimum de réponses parasites
- les contours correctement localisés
- l'épaisseur des contours détectés doit être de 1 pixel

Canny a exprimé ces objectifs sous forme mathématique et a proposé des solutions optimales vérifiant ces objectifs.

# Détecteur de Canny

Algorithme :

- 1 lissage de l'image avec un filtre gaussien
- 2 calcul du gradient (magnitude et angle)
- 3 suppression des non-maxima sur l'image de magnitude
- 4 seuillage par hystérésis

# Détecteur de Canny

## Lissage

Convolution de l'image  $f$  par un noyau gaussien  $g(x,y) = e^{-\frac{x^2+y^2}{2\sigma^2}}$  :

$$h = f * g.$$

# Détecteur de Canny

## Lissage

Convolution de l'image  $f$  par un noyau gaussien  $g(x,y) = e^{-\frac{x^2+y^2}{2\sigma^2}}$  :

$$h = f * g.$$

## Calcul du gradient

$$M(x,y) = \sqrt{\partial_x f(x,y)^2 + \partial_y f(x,y)^2}$$

$$A(x,y) = \text{atan} \left( \frac{\partial_y f(x,y)}{\partial_x f(x,y)} \right)$$

# Détecteur de Canny

## Suppression des non-maxima

L'objectif est de réduire les contours trop larges fournis par le calcul du gradient.

Pour chaque pixel  $(x, y)$  de l'amplitude  $M$ :

    définir la direction ( $\updownarrow$ ,  $\nearrow$ ,  $\leftrightarrow$ ,  $\swarrow$ ) la plus proche de  $A(x, y)$   
    si  $M(x, y)$  est plus faible que l'un des deux gradients voisins  
        dans sa direction :

        alors le gradient est annulé :  $M(x, y) = 0$

# Détecteur de Canny

## Seuillage par hystérésis

L'objectif est d'éliminer les faux contours.

Définition de deux seuils tels que  $s_{\text{haut}} > s_{\text{bas}}$ .

pour chaque pixel  $(x,y)$  du gradient :

    si  $M(x,y) > s_{\text{haut}}$  :

        |  $(x,y)$  est un point de contour

    si  $s_{\text{bas}} < M(x,y) < s_{\text{haut}}$  :

        |  $(x,y)$  est un point de contour si et seulement  
            s'il est voisin d'un point de contour

    si  $M(x,y) < s_{\text{bas}}$  :

        |  $(x,y)$  n'est pas un point de contour



## Détecteur de Canny

$f$



Sobel

Marr-  
Hildreth



Canny

# Détection de coins

# Détection de coins

- Jonction de deux contours
- Détecteur de Moravec [Moravec 1980]
- Détecteur de Harris [Harris & Stephens 1988]
- ...

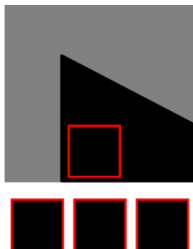
## Détecteur de Moravec

Principe : observer les changements survenus en décalant légèrement un patch autour d'un pixel d'intérêt. Si les changements sont importants, alors le patch est centré sur un coin.



## Détecteur de Moravec

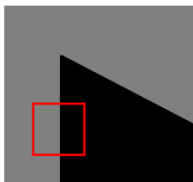
Principe : observer les changements survenus en décalant légèrement un patch autour d'un pixel d'intérêt. Si les changements sont importants, alors le patch est centré sur un coin.



zone plate : pas de changement

## Détecteur de Moravec

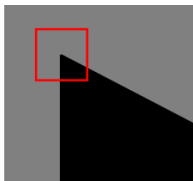
Principe : observer les changements survenus en décalant légèrement un patch autour d'un pixel d'intérêt. Si les changements sont importants, alors le patch est centré sur un coin.



contour : changement significatif dans une seule direction

## Détecteur de Moravec

Principe : observer les changements survenus en décalant légèrement un patch autour d'un pixel d'intérêt. Si les changements sont importants, alors le patch est centré sur un coin.



coins : changement significatif  
dans toutes les directions

## Détecteur de Moravec

En chaque pixel  $(m,n)$  de l'image est calculé pour différents décalages  $(x,y)$  :

$$\forall m,n,x,y \quad E_{m,n}(x,y) = \sum_{u,v} w_{m,n}(u,v) [f(u+x, v+y) - f(u,v)]^2$$

(seuls  $(x,y) \in \{(1,0), (1,1), (0,1), (-1,1)\}$  sont testés).

où :

- $w_{m,n}$  est une fenêtre rectangulaire autour du pixel  $(m,n)$
- $[f(u+x, v+y) - f(u,v)]^2$  représente la différence entre le patch  $f(u,v)$  et le patch décalé  $f(u+x, v+y)$
- $E(x,y)$  est la différence entre les patches pour un décalage  $(x,y)$



## Détecteur de Moravec

En chaque pixel  $(m,n)$  de l'image est calculé pour différents décalages  $(x,y)$  :

$$\forall m,n,x,y \quad E_{m,n}(x,y) = \sum_{u,v} w_{m,n}(u,v) [f(u+x,v+y) - f(u,v)]^2$$

(seuls  $(x,y) \in \{(1,0), (1,1), (0,1), (-1,1)\}$  sont testés).

Le minimum de  $E_{m,n}(x,y)$  par rapport aux décalages  $t$  déterminé :

$$\forall m,n \quad F_{m,n} = \min_{x,y} E_{m,n}(x,y)$$

Les coins détectés correspondent aux maxima locaux de  $F_{m,n}$ .

## Détecteur de Moravec

$$\forall m,n,x,y \quad E_{m,n}(x,y) = \sum_{u,v} w_{m,n}(u,v) [f(u+x, v+y) - f(u,v)]^2$$

1	1	1	1	1
1	1	1	1	1
1	1	0	0	0
1	1	0	0	0
1	1	0	0	0

## Détecteur de Moravec

$$\forall m,n,x,y \quad E_{m,n}(x,y) = \sum_{u,v} w_{m,n}(u,v) [f(u+x, v+y) - f(u,v)]^2$$

1	1	1	1	1
1	1	1	1	1
1	1	0	0	0
1	1	0	0	0
1	1	0	0	0

## Détecteur de Moravec

$$\forall m,n,x,y \quad E_{m,n}(x,y) = \sum_{u,v} w_{m,n}(u,v) [f(u+x, v+y) - f(u,v)]^2$$

1	1	1	1	1
1	1	1	1	1
1	1	0	0	0
1	1	0	0	0
1	1	0	0	0

# Détecteur de Moravec

Problèmes :

- Ⓟ1 la réponse du détecteur peut être bruitée car  $w$  est une fenêtre binaire
- Ⓟ2 seuls des décalages de  $45^\circ$  sont considérés
- Ⓟ3 le détecteur est trop sensible aux contours car seul le minimum de  $E$  est considéré

# Détecteur de Moravec

Problèmes :

- Ⓟ1 la réponse du détecteur peut être bruitée car  $w$  est une fenêtre binaire
- Ⓟ2 seuls des décalages de  $45^\circ$  sont considérés
- Ⓟ3 le détecteur est trop sensible aux contours car seul le minimum de  $E$  est considéré

⇒ détecteur de Harris.

## Détecteur de Harris

Pour éviter une réponse bruitée (problème (P1)), la fenêtre rectangulaire  $w$  est remplacée par une fenêtre  $w$  gaussienne dans :

$$E(x,y) = \sum_{u,v} w(u,v) (f(u+x,v+y) - f(u,v))^2$$

## Détecteur de Harris

Pour étendre le modèle à n'importe quel angle (problème (P2)), on utilise un développement en série de Taylor de  $f(u + x, v + y)$  :

$$f(u + x, v + y) \approx f(u, v) + x \partial_x f(u, v) + y \partial_y f(u, v)$$



## Détecteur de Harris

Pour étendre le modèle à n'importe quel angle (problème **P2**), on utilise un développement en série de Taylor de  $f(u + x, v + y)$  :

$$f(u + x, v + y) \approx f(u, v) + x \partial_x f(u, v) + y \partial_y f(u, v)$$

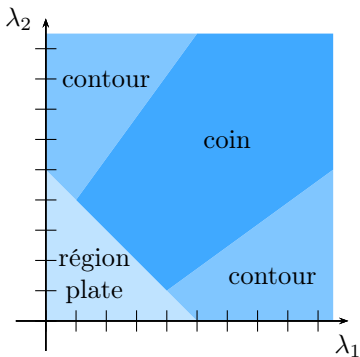
$$\begin{aligned} \Rightarrow E(x, y) &= \sum_{u, v} w(u, v) (f(u + x, v + y) - f(u, v))^2 \\ &\approx \sum_{u, v} w(u, v) (x \partial_x f(u, v) + y \partial_y f(u, v))^2 \\ &\approx \begin{pmatrix} x & y \end{pmatrix} M \begin{pmatrix} x \\ y \end{pmatrix} \end{aligned}$$

$$\text{où} \quad M = \sum_{u, v} w(u, v) \begin{pmatrix} (\partial_x f)^2 & \partial_x f \partial_y f \\ \partial_x f \partial_y f & (\partial_y f)^2 \end{pmatrix}$$

## Détecteur de Harris

Le problème (P3) peut être évité en considérant une nouvelle mesure de la présence d'un coin : on peut obtenir d'autres informations sur le changement d'intensité dans la fenêtre en analysant les valeurs propres  $\lambda_1$  et  $\lambda_2$  de la matrice  $M$ .

$$E(x, y) = \begin{pmatrix} x & y \end{pmatrix} M \begin{pmatrix} x \\ y \end{pmatrix}$$



## Détecteur de Harris

Le calcul des valeurs propres de  $M$  pouvant être difficile, une alternative est de calculer :

$$R = \det(M) - k(\text{trace}(M))^2 = \lambda_1 \lambda_2 - k(\lambda_1 + \lambda_2)^2$$

avec  $0,04 < k < 0,06$ .

## Détecteur de Harris

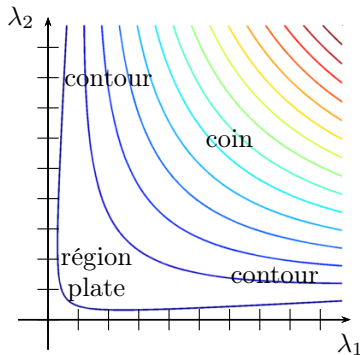
Le calcul des valeurs propres de  $M$  pouvant être difficile, une alternative est de calculer :

$$R = \det(M) - k(\text{trace}(M))^2 = \lambda_1 \lambda_2 - k(\lambda_1 + \lambda_2)^2$$

avec  $0,04 < k < 0,06$ .

Les valeurs de  $R$  sont :

- faibles dans une région plate,
- négatives sur un contour,
- positives sur un coin.



## Détecteur de Harris



$$|R| < 10^8$$



$$R < -10^8$$

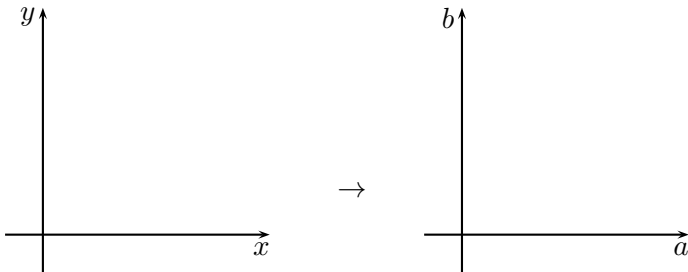


$$R > 10^8$$

Détection de droites

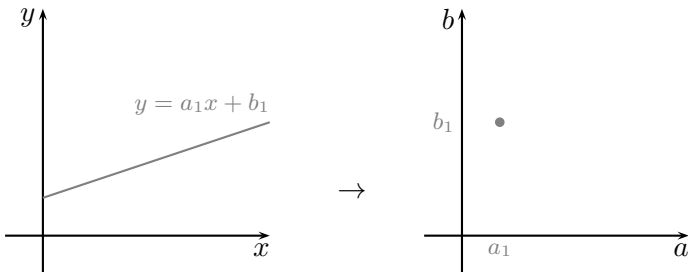
# Transformée de Hough pour les droites

L'idée de la transformée de Hough [Hough 1962] est de représenter une droite de l'*image* en un point dans l'*espace des paramètres*.



# Transformée de Hough pour les droites

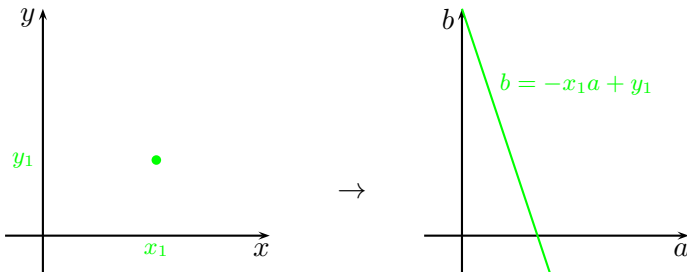
L'idée de la transformée de Hough [Hough 1962] est de représenter une droite de l'*image* en un point dans l'*espace des paramètres*.





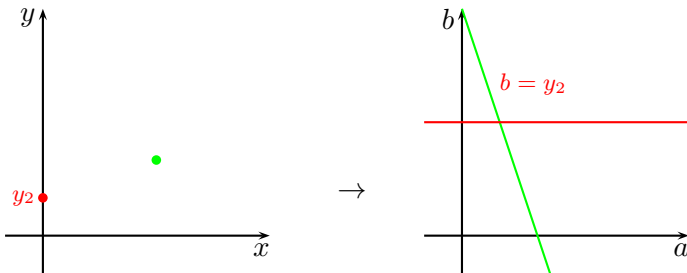
# Transformée de Hough pour les droites

L'idée de la transformée de Hough [Hough 1962] est de représenter une droite de l'*image* en un point dans l'*espace des paramètres*.



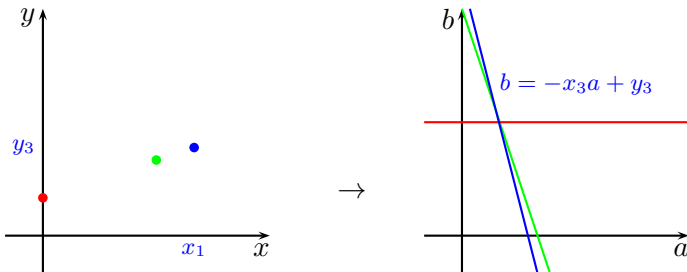
# Transformée de Hough pour les droites

L'idée de la transformée de Hough [Hough 1962] est de représenter une droite de l'*image* en un point dans l'*espace des paramètres*.



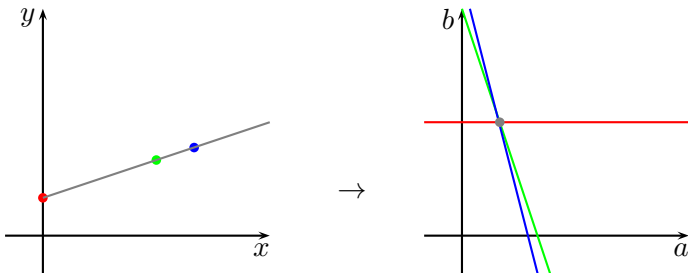
# Transformée de Hough pour les droites

L'idée de la transformée de Hough [Hough 1962] est de représenter une droite de l'*image* en un point dans l'*espace des paramètres*.



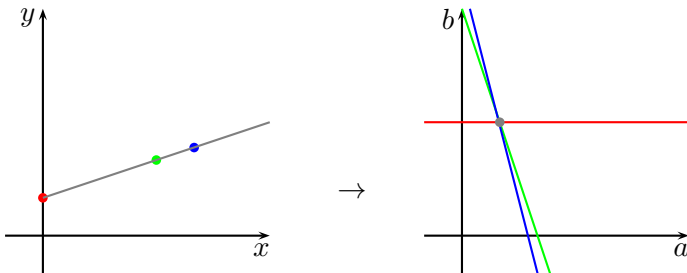
# Transformée de Hough pour les droites

L'idée de la transformée de Hough [Hough 1962] est de représenter une droite de l'*image* en un point dans l'*espace des paramètres*.



## Transformée de Hough pour les droites

L'idée de la transformée de Hough [Hough 1962] est de représenter une droite de l'*image* en un point dans l'*espace des paramètres*.



Les points d'une droite  $y = ax + b$  dans l'image deviennent des droites qui se coupent en  $(a, b)$  dans l'espace des paramètres.

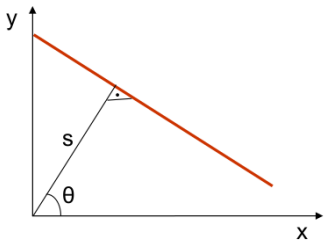
## Nouvelle paramétrisation

L'inconvénient de la paramétrisation  $(a, b)$  est que l'espace des paramètres doit être borné et discrétisé  $\Rightarrow$  une droite verticale ( $a = \infty$ ) ne peut pas être représentée.

## Nouvelle paramétrisation

L'inconvénient de la paramétrisation  $(a, b)$  est que l'espace des paramètres doit être borné et discrétisé  $\Rightarrow$  une droite verticale ( $a = \infty$ ) ne peut pas être représentée.

$\Rightarrow$  Nouvelle paramétrisation

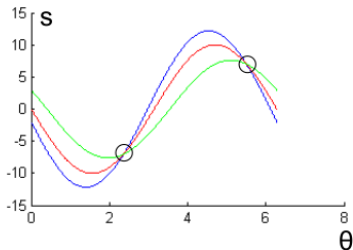
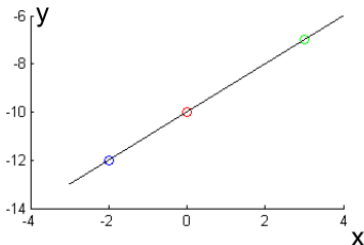


$$x = s \cos(\theta) \text{ et } y = s \sin(\theta) \quad \Rightarrow \quad s = x \cos(\theta) + y \sin(\theta)$$

## Nouvelle paramétrisation

Pour chaque point  $(x_i, y_i)$  de l'image, une sinusoïde est associée dans l'espace  $(\theta, s)$  :

$$s = x_i \cos(\theta) + y_i \sin(\theta)$$



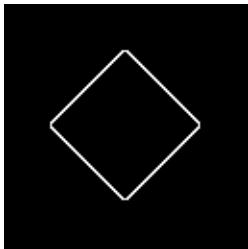
Les sinusoïdes correspondant aux points d'une même droite se coupent au point  $(s^*, \theta^*)$  paramétrisant cette droite.



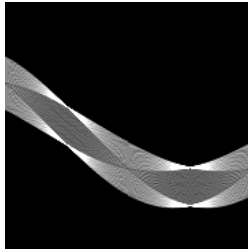
## Exemple



$f$

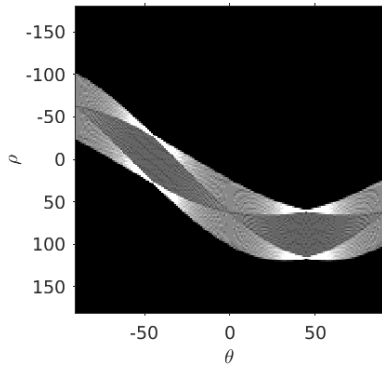
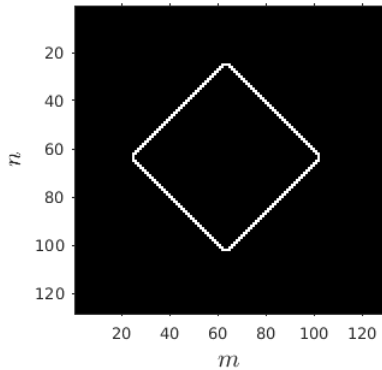


Canny



Hough

## Example



# Algorithme

Appliquer une détection de contours

Définir un accumulateur (= espace des paramètres discrétisé)

Pour chaque point des contours :

- | Déterminer la droite correspondante dans l'espace des paramètres

- | Incrémenter l'accumulateur le long de cette droite

Rechercher les maxima de l'accumulateur  
pour obtenir les paramètres des droites

# Transformée de Hough

Avantages :

- robuste au bruit
- robuste aux occlusions (peut détecter des objets partiellement recouverts)
- Extensible à tout objet paramétré (cercles, ellipses, ...)

[Duda & Hart 1972]

# Transformée de Hough

Avantages :

- robuste au bruit
- robuste aux occlusions (peut détecter des objets partiellement recouverts)
- Extensible à tout objet paramétré (cercles, ellipses, ...)

[Duda & Hart 1972]

Exemple pour la détection de cercles :

$$(x - a)^2 + (y - b)^2 = r^2 \quad \rightarrow \quad 3 \text{ paramètres}$$

# Transformée de Hough

Avantages :

- robuste au bruit
- robuste aux occlusions (peut détecter des objets partiellement recouverts)
- Extensible à tout objet paramétré (cercles, ellipses, ...)

[Duda & Hart 1972]

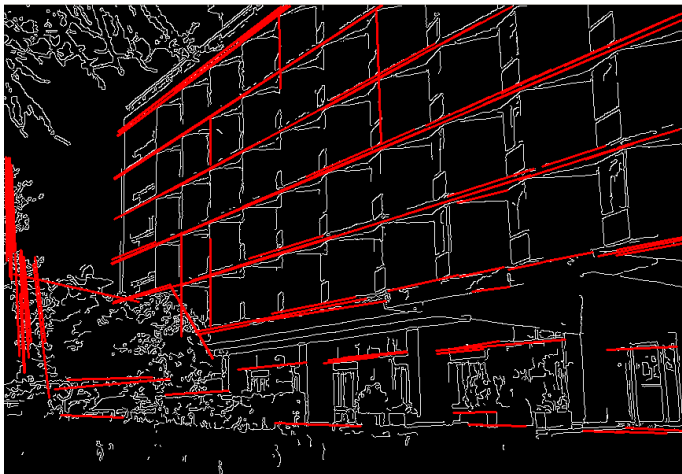
Exemple pour la détection de cercles :

$$(x - a)^2 + (y - b)^2 = r^2 \quad \rightarrow \quad 3 \text{ paramètres}$$

Inconvénient :

- la dimension de l'accumulateur est égal aux nombres de paramètres  $\Rightarrow$  le temps de calcul et la mémoire utilisée deviennent vite conséquents

# Transformée de Hough



## Transformée de Hough





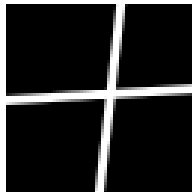
## Exercise



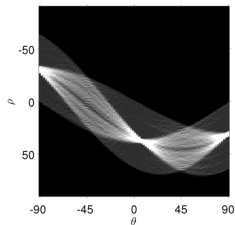
A



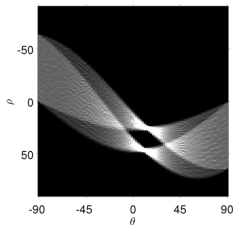
B



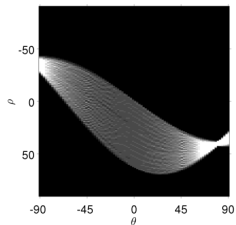
C



1



2



3

## Conclusion

# Conclusion

Détection de caractéristiques : approches différentes en fonction de la caractéristique cherchée !

- Contour : filtrage de l'image en utilisant le gradient ou le laplacien (Roberts, Prewitt, Sobel, Canny ...)
- Coin : mesurer les changements d'intensité dans le voisinage des pixels (Moravec, Harris ...)
- Ligne, cercle : représenter l'image dans l'espace des paramètres (Hough ...)

# Bibliographie

- L.G. Roberts, « Machine Perception Of Three-Dimensional Solids », *Computer Methods in Image Analysis* IEEE Press, 1965.
- J.M.S. Prewitt, « Object enhancement and extraction », *Picture Processing and Psychopictorics*, Academic Press, 1970.
- I. Sobel et G. Feldman, « A  $3 \times 3$  Isotropic Gradient Operator for Image Processing », In *Stanford Artificial Intelligence Project*, 1968.
- D. Marr et E. Hildreth, « Theory of Edge Detection » *Proceedings of the Royal Society of London* vol. 207, 1980.
- J. Canny, « A Computational Approach To Edge Detection », *IEEE Transactions on Pattern Analysis and Machine Intelligence*, vol. 8, 1986.
- R.O. Duda et P.E. Hart, « Use of the Hough Transformation to Detect Lines and Curves in Pictures », *Comm. ACM*, 15, p. 11–15, 1972.
- C. Harris, M. Stephens « A combined corner and edge detector », *actes de l'Alvey Vision Conference*, p. 147–151, 1988.
- P.V.C. Hough, *Method and means for recognizing complex patterns*, US Patent 3,069,654, 1962.
- H. Moravec, *Obstacle Avoidance and Navigation in the Real World by a Seeing Robot Rover*, rapport technique, Carnegie–Mellon University, Robotics Institute, 1980.